



2212,

$$C_1 = \frac{1-\nu}{1-2\nu}, \quad C_2 = \frac{\nu}{1-2\nu}, \quad C_3 = C_1 + 2C_2,$$

$$G = \frac{E}{2(1+\nu)}, \quad A = \frac{1}{3} \frac{M^2 - \eta^2}{M^2 \eta^3 + \eta^2 + M^2},$$

$$B = \frac{1}{8} \frac{(2 + M^2 \eta) \eta}{M^2 \eta^3 + \eta^2 + M^2}, \quad X_z = A C_3 + B S_z,$$

$$X_r = A C_3 + B S_r, \quad X_\theta = A C_3 + B S_\theta, \quad X_{rz} = B T_{rz},$$

$S_z, S_r, S_\theta =$  偏差応力,  $p = I_1/3, q = \sqrt{2J_2}$ .

4. 解析結果 材料定数の中で  $E_i$  および  $\nu_i$  は、現荷重段階における各要素の平均歪応力  $p$  に計算し、この値を図2の  $\sigma_3$  に読みかえて  $E_i, \nu_i$  を求め、これらの値を用いて次ステップの計算を行った。間隙比  $e = 0.82$ ,  $\lambda$  (圧縮指数  $c_c$  の0.435倍) = 0.141,  $\mu$  (膨張指数  $c_s$  の0.435倍) = 0.009 を用いた。

計算に当たっては、ニュートン・ラプソン法による非線形収束計算法を15回繰返すという方法で実行した。抗側方にテンション領域が発生するが、その大きさは小さいものであったのでテンションカットは行わず、初期拘束圧に相当する弾性係数  $E$  を与えて計算を続けるという方法で処理した。

本解析で得られた結果のうち各節長の変位ベクトルを示したのが図3である。抗下方における等変位ベクトル線はやや縦長の楕円状に広がっているようであり、先の研究<sup>1)</sup>で実験的に走らせた粒子破碎領域の形状と類似しているのが注目される。

抗直下における各要素の鉛直変位成分を加えることにより抗の沈下量  $\delta$  が求められる。図4は、 $\delta$  と抗応力との関係を示したものであり、弾塑性解析による値は(計算ステップが未だ不十分であるが)実験値と比較的よく合っていると云えよう。

5. 結論 筆者らが提案した粒子破碎領域における砂の弾塑性構成式を用い、砂中杭の応力変形解析を行った。その結果と実験結果とを比較すると、計算した範囲では両者はよく一致するという結果を得た。未だ計算が十分に進んでいないが、少なくとも上述の結果から、提案弾塑性式の適合性と本解析手法の各節長について明確な見通しが得られたと考へる。

文献 1) 三浦: 杭先端付近における砂の粒子破碎と杭の支荷機構, 土と基礎, No.313, 1984.2  
2) Miura et al.: Stress-Strain Characteristics of Sand in a Particle-Crushing Region, S&F, Vol.24, No.1, 1984.3

総要素数166, 総節点数195

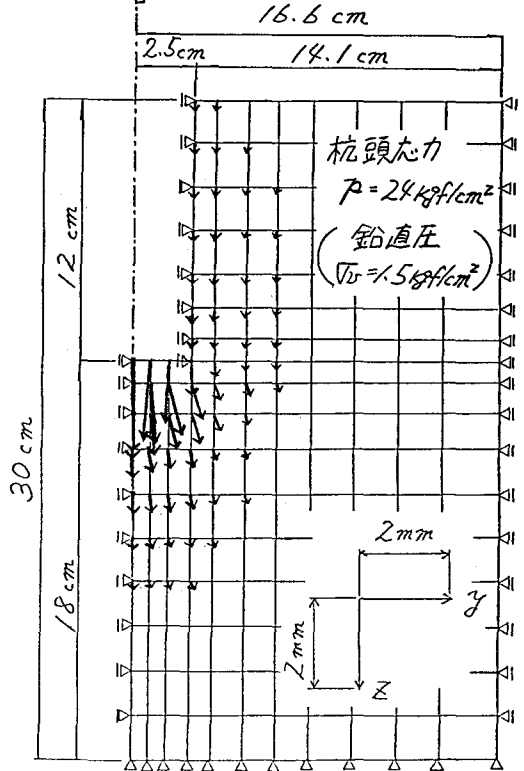


図3 弾塑性解析による変位ベクトル

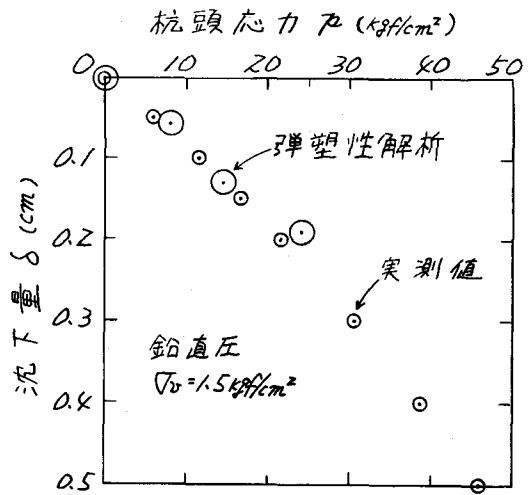


図4 解析結果と実験結果との比較